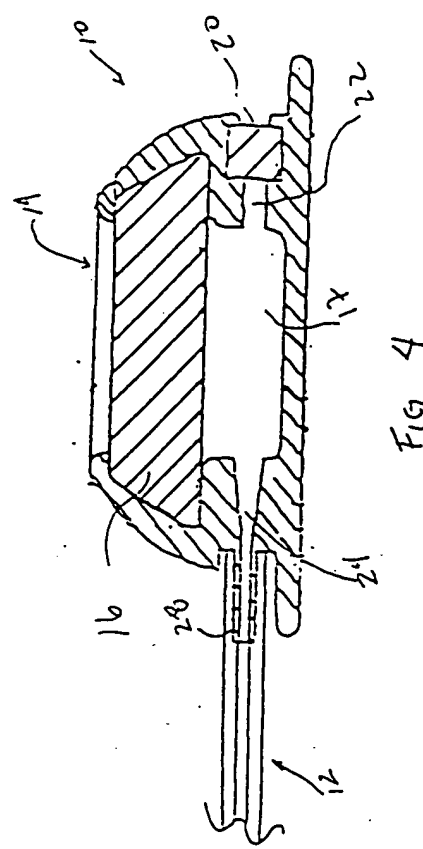
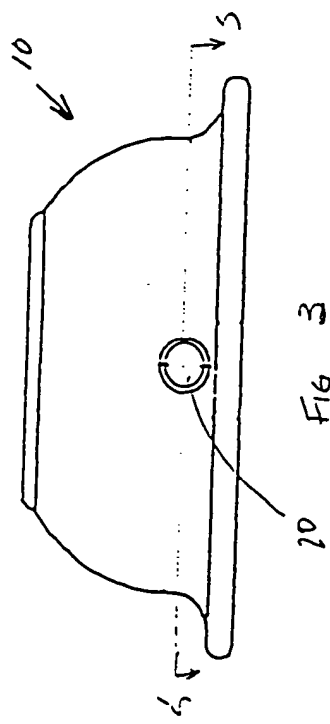
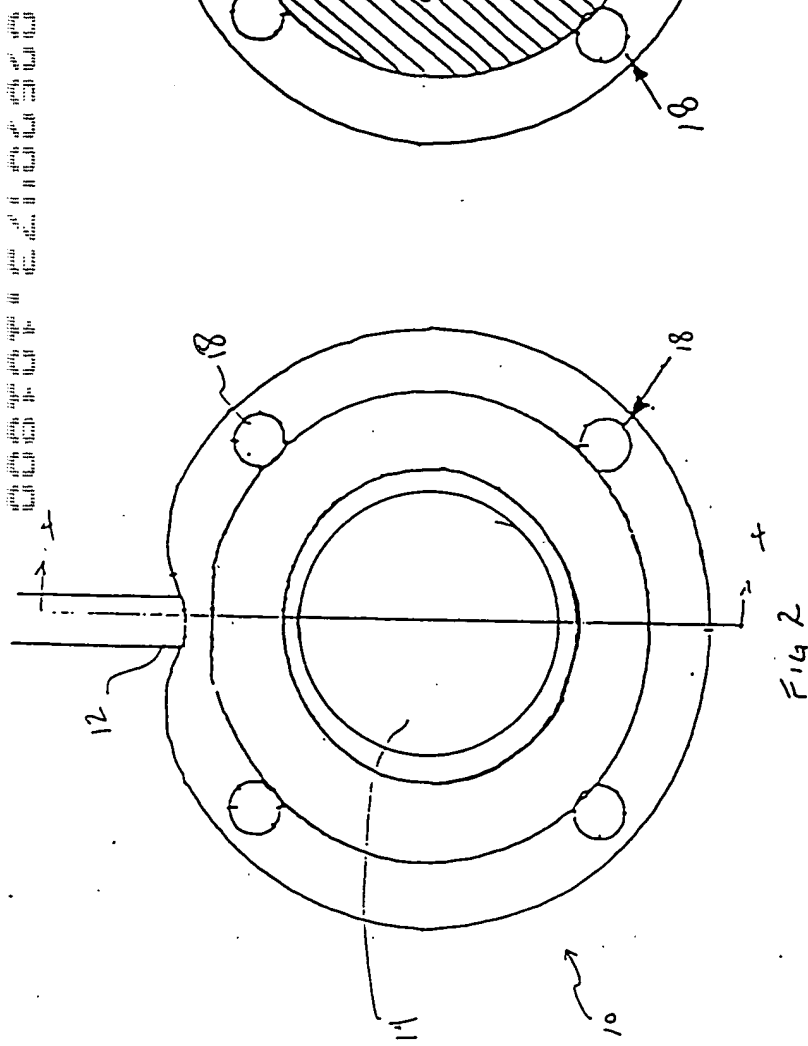
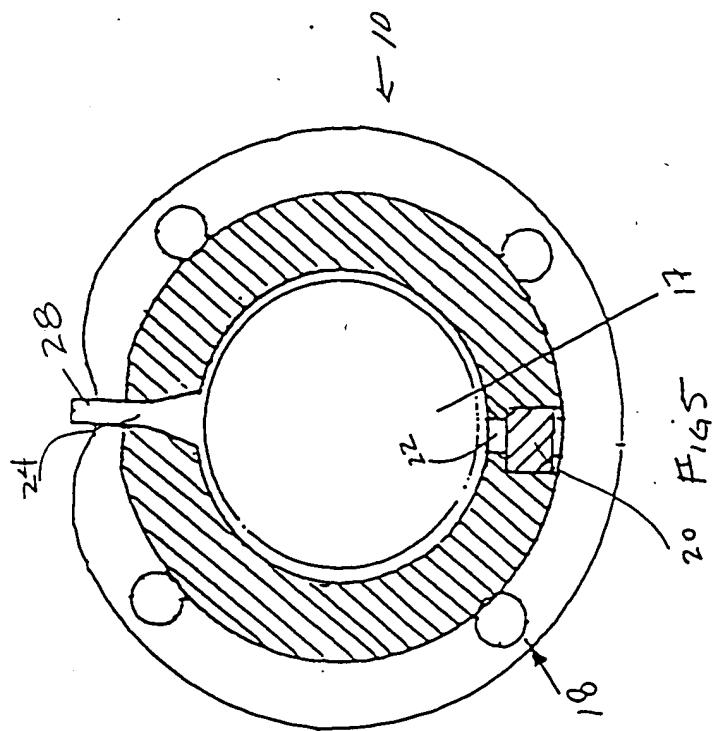


FIG 1

P2102 ART



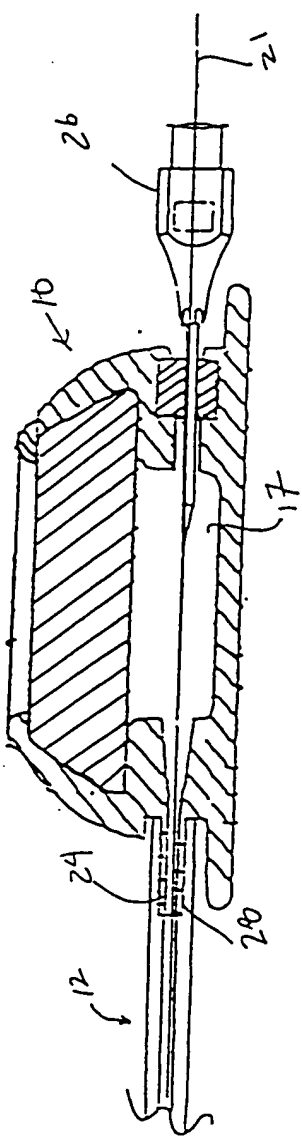
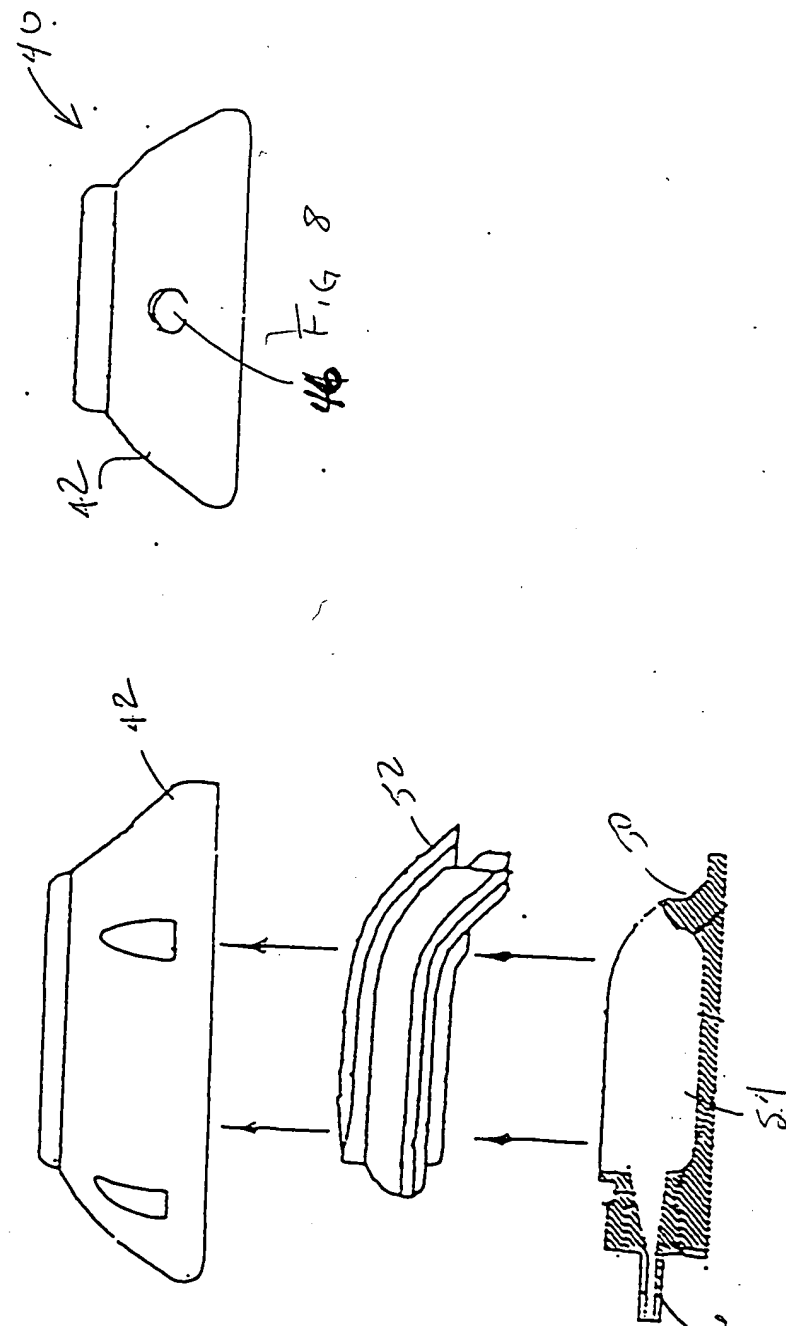
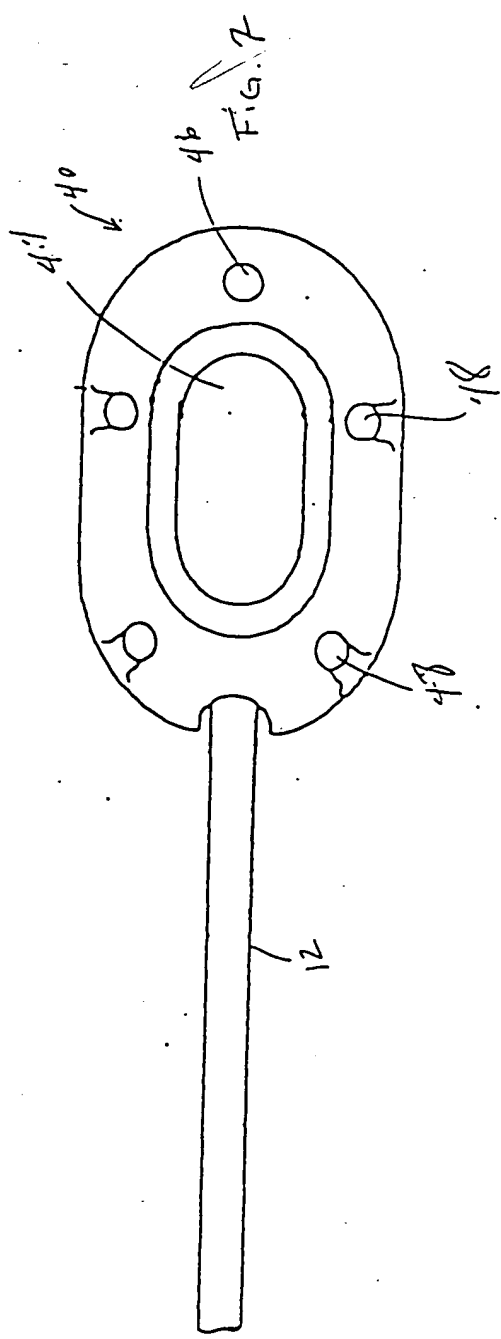
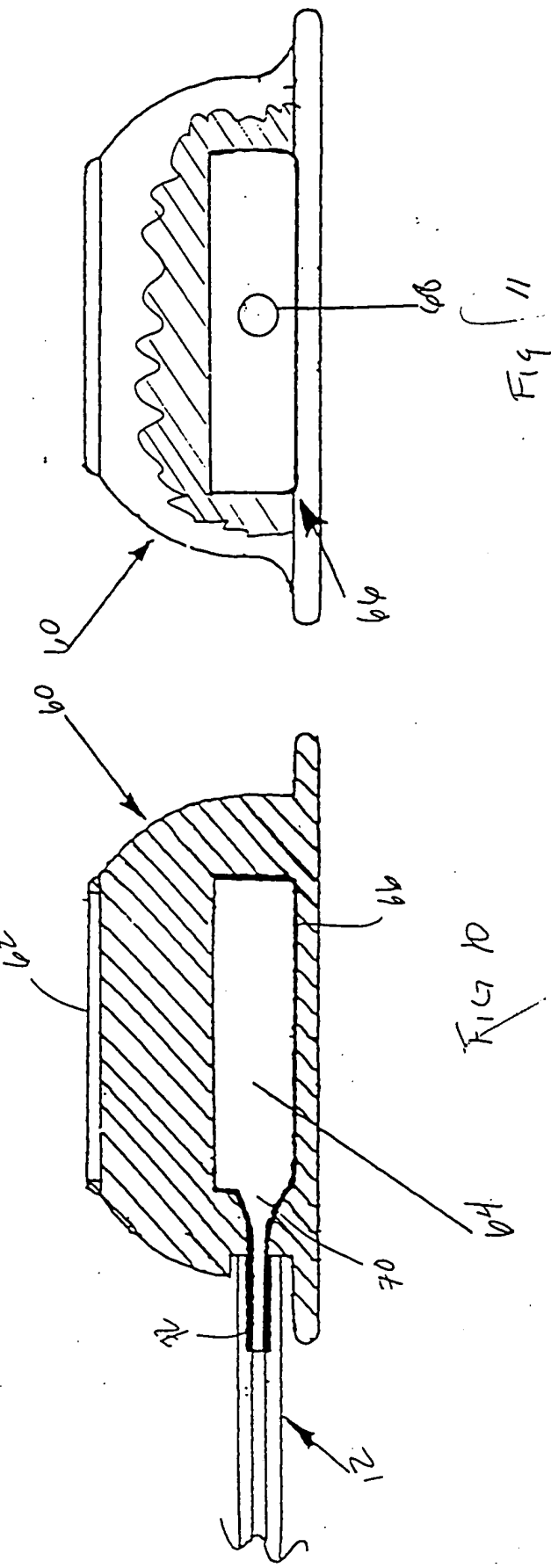
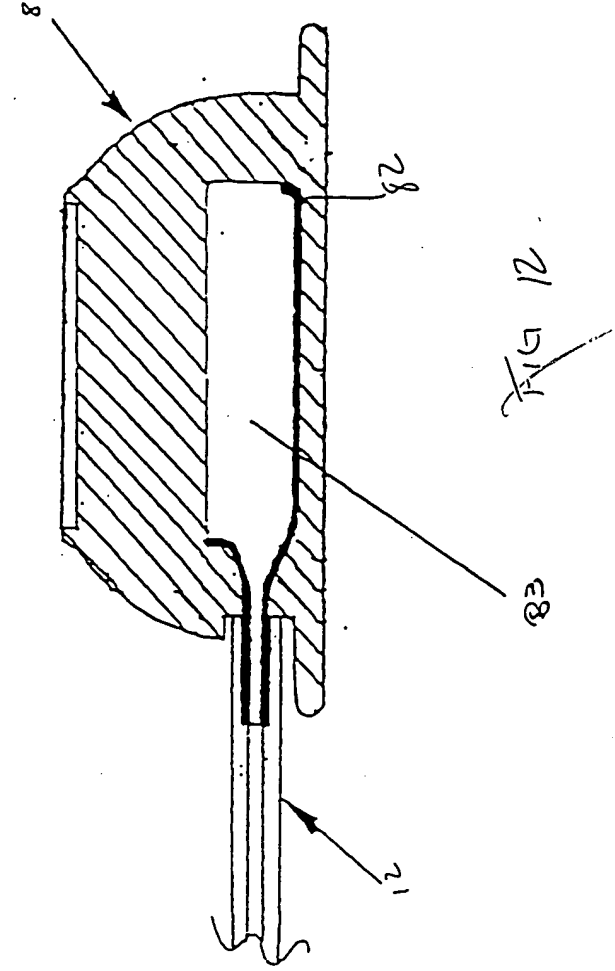
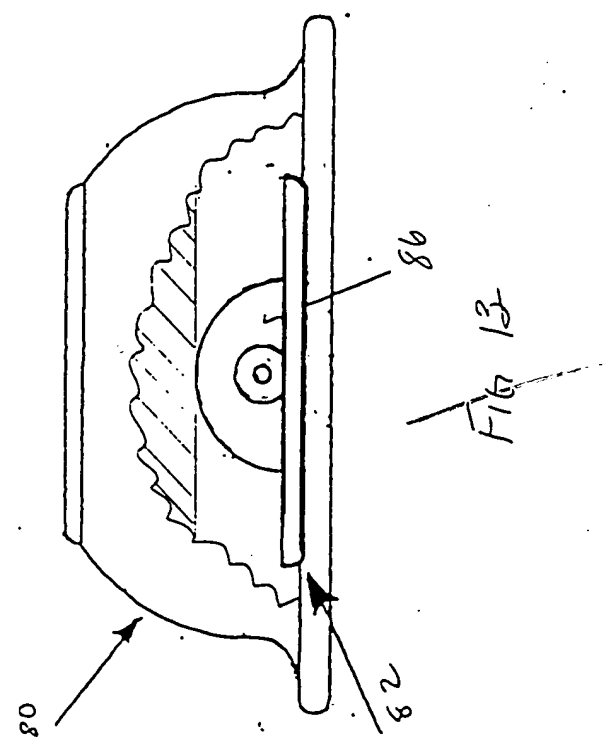


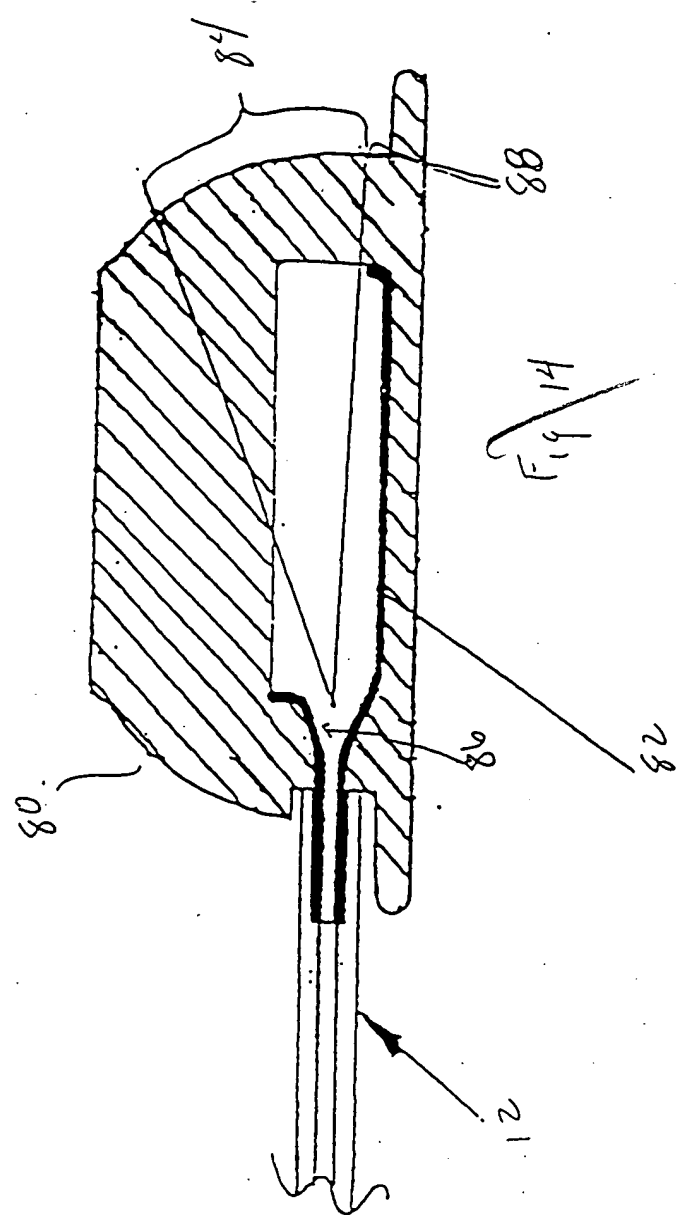
Fig. 4

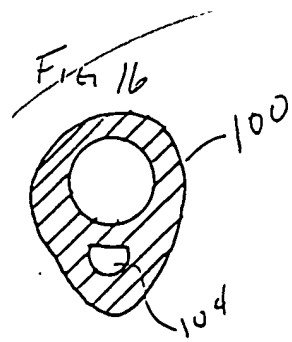
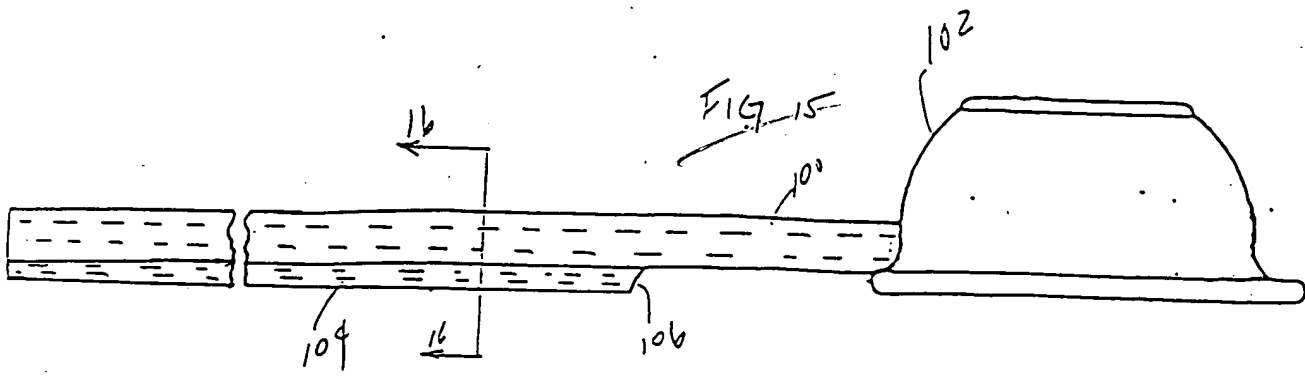
41 40 42 43 44 45 46 47 48 49 40 41 42 43 44 45 46 47 48 49



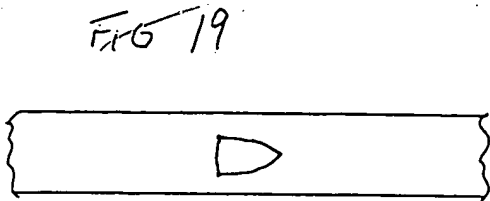
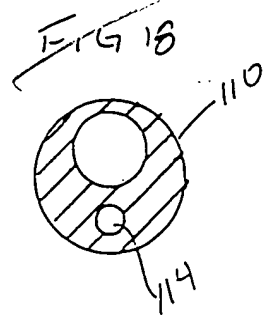
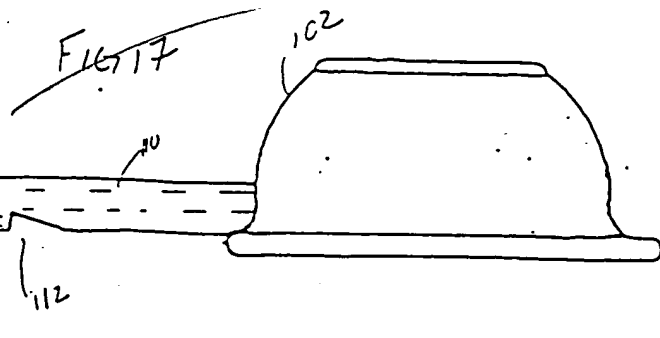


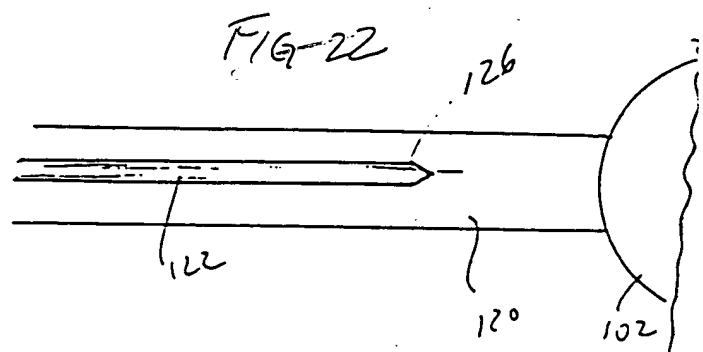
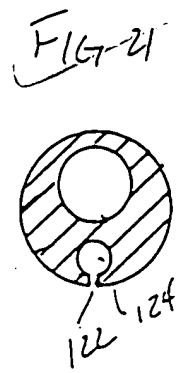
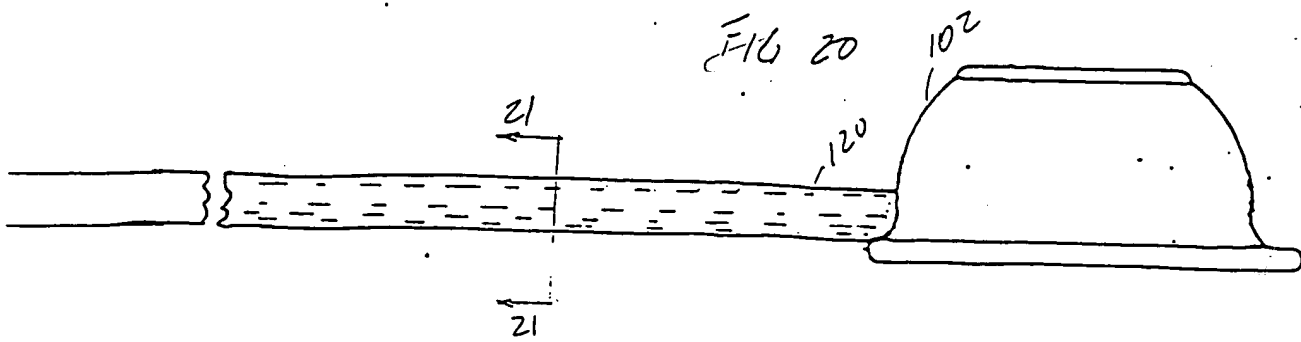






100 104 106 102 116 110 112 114 118





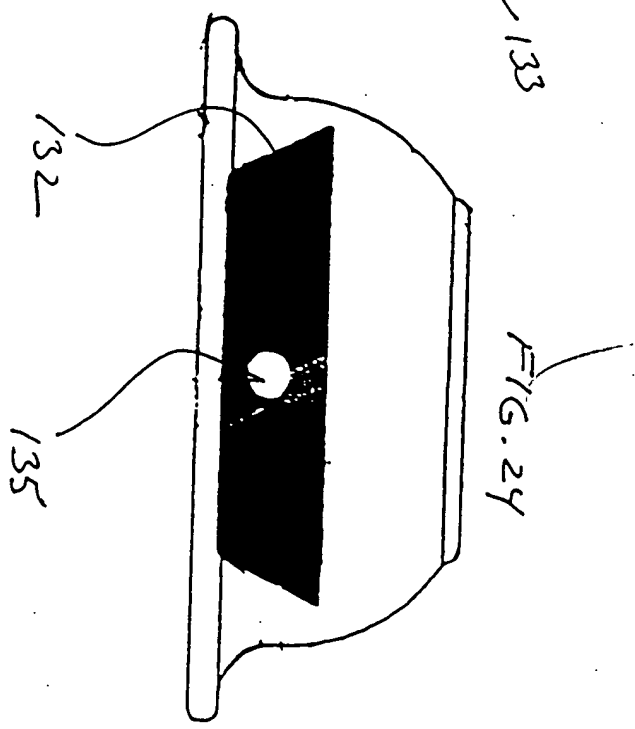
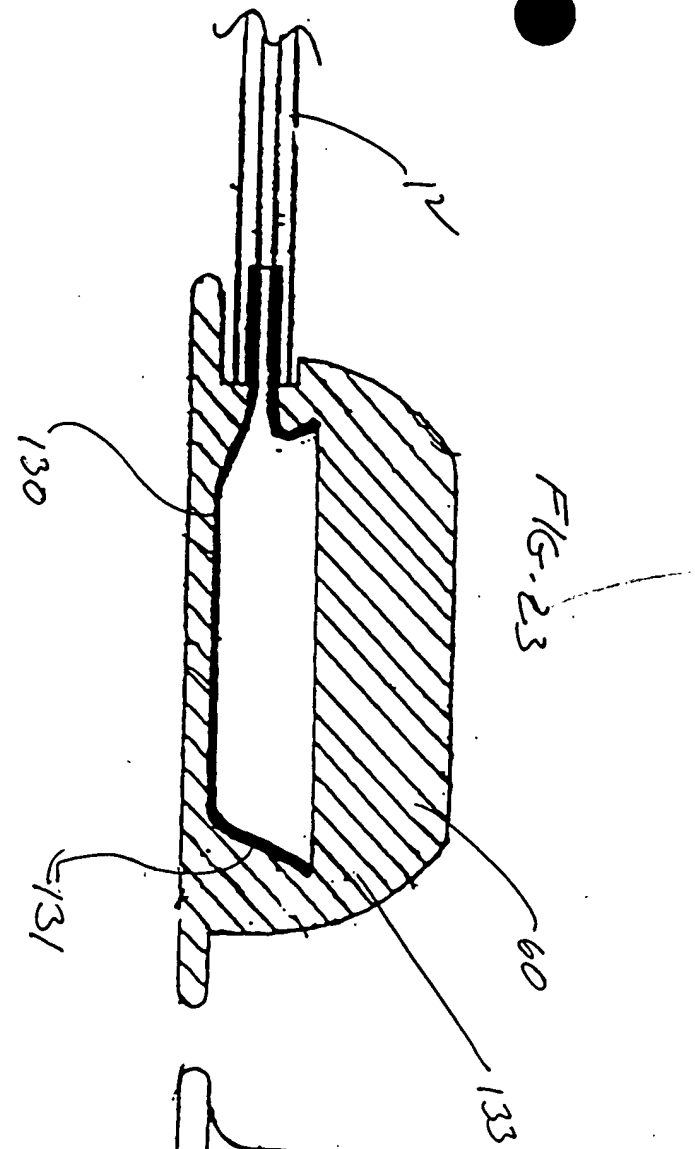


Fig. 25

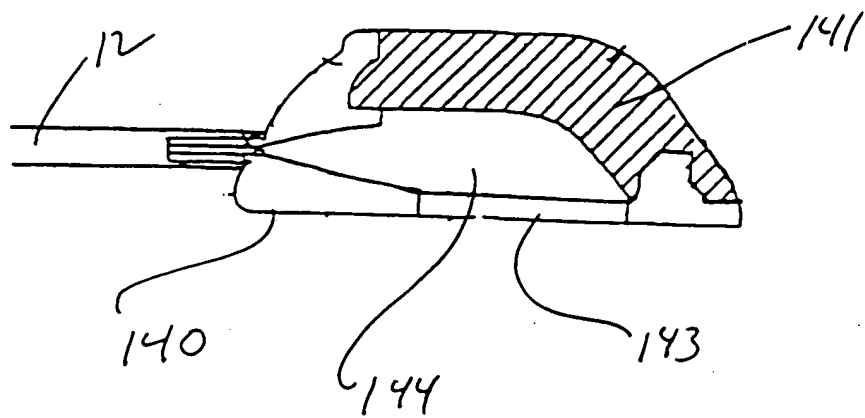
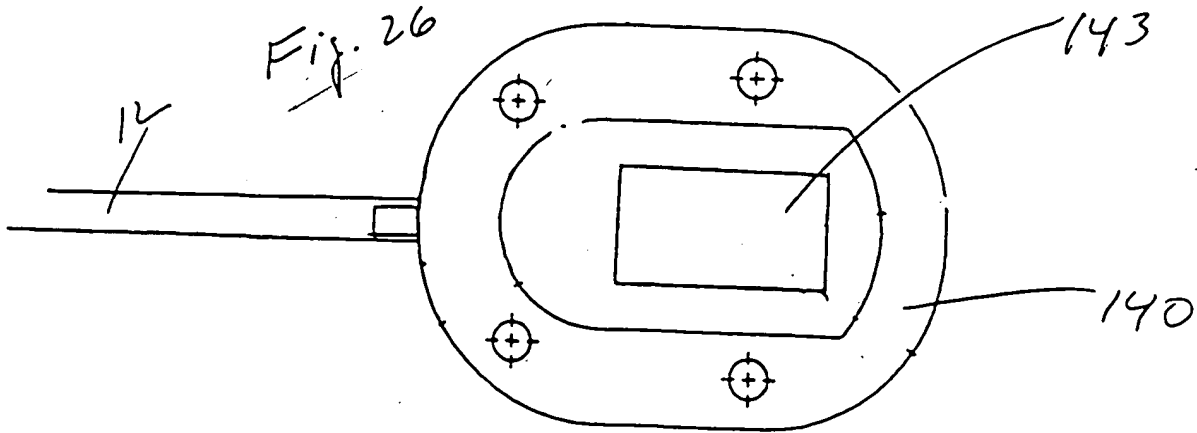


Fig. 26



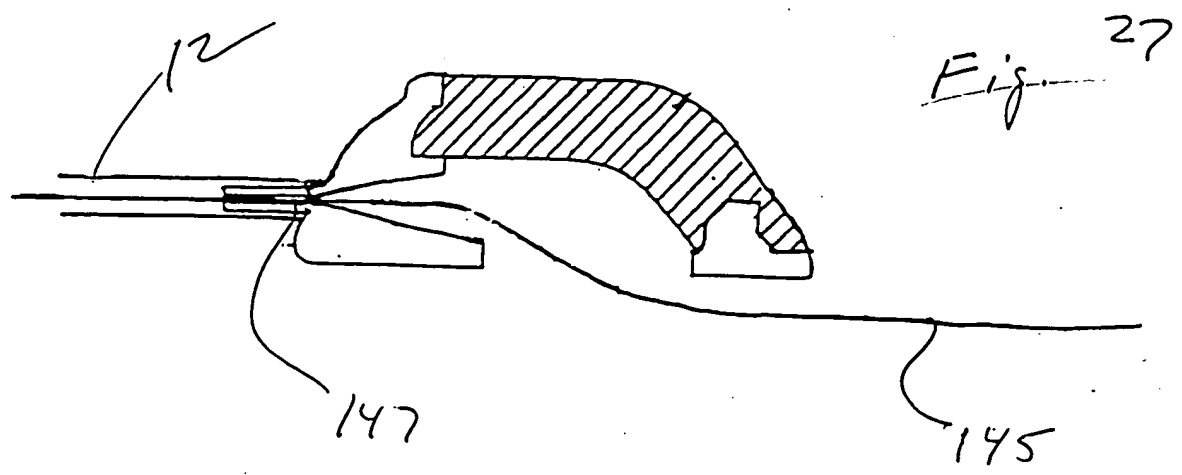
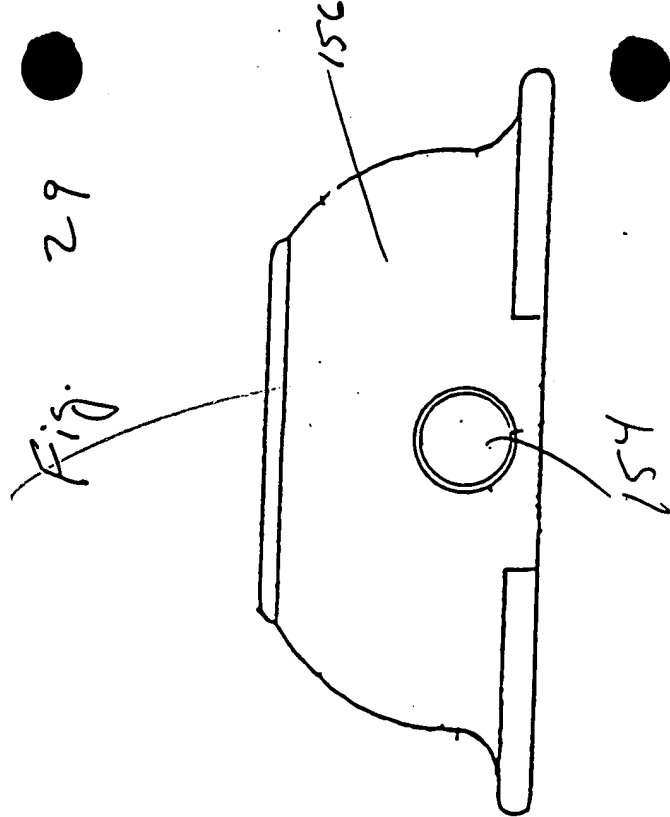
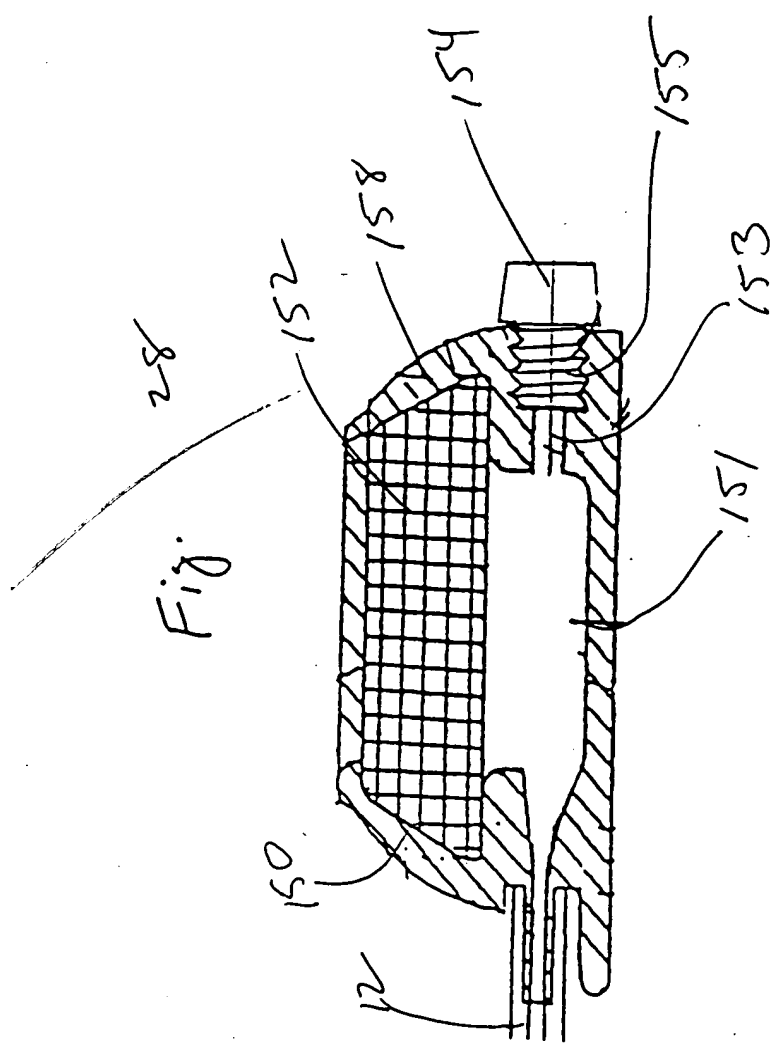
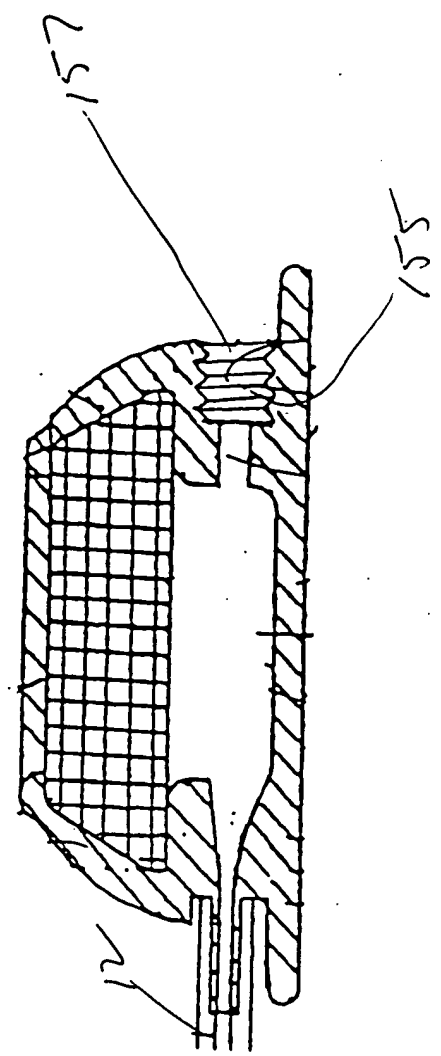
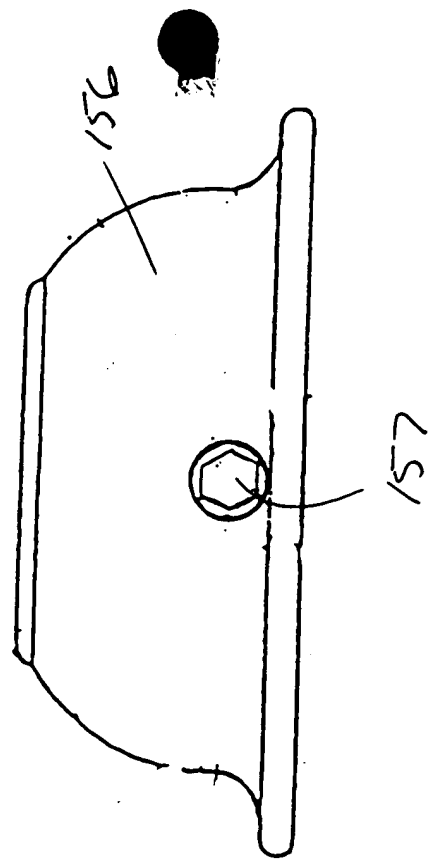


Fig. 28





31.

Fig.

30

三